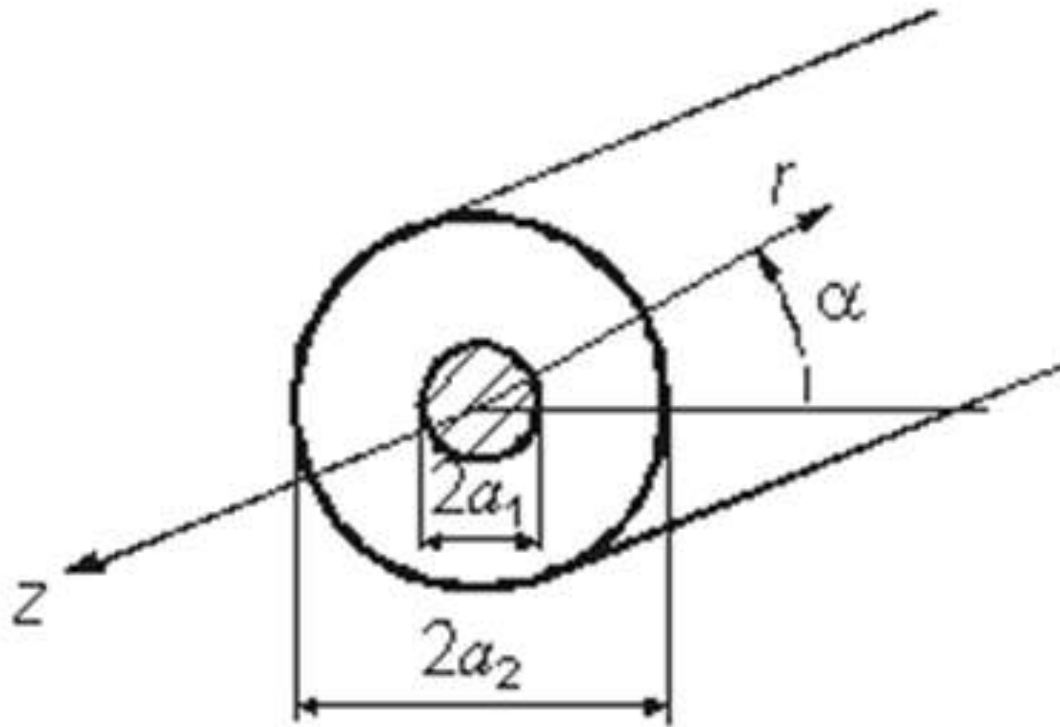


# Электродинамика и распространение радиоволн

Лекция 12  
06.05-08.05.2020

Русов Юрий Сергеевич

## 4.7 Коаксиальный волновод (кабель)



Коаксиальный кабель состоит из центральной цилиндрической жилы и изолированной от нее коаксиальной оболочки. В коаксиальном кабеле могут распространяться  $H_{nm}$ -,  $E_{nm}$ -, и Т-волны.

## Коаксиальный волновод. $H_{nm}$ -волны

Волновое уравнение для z-компоненты

$$\Delta \dot{H}_{mz} + k^2 \dot{H}_{mz} = 0$$

$$\frac{1}{r} \frac{\partial}{\partial r} \left( r \frac{\partial \dot{H}_{mz}}{\partial r} \right) + \frac{1}{r^2} \frac{\partial^2 \dot{H}_{mz}}{\partial \alpha^2} + \frac{\partial^2 \dot{H}_{mz}}{\partial z^2} + k^2 \dot{H}_{mz} = 0. \quad (4.40)$$

Решение уравнения можно представить в виде

$$\dot{H}_{mz} = \dot{H}_{mz}(r, \alpha) e^{-i k_0 z}. \quad (4.41)$$

## Коаксиальный волновод. $H_{nm}$ -волны

Подставляя (4.41) в (4.40), получим

$$\frac{1}{r} \frac{\partial}{\partial r} \left( r \frac{\partial H_{mz}}{\partial r} \right) + \frac{1}{r^2} \frac{\partial^2 \dot{H}_{mz}}{\partial \alpha^2} + \chi^2 \dot{H}_{mz} = 0$$

(4.42)

Применим метод Фурье — метод разделения переменных.

$$\dot{H}_{mz} = R(r) \Phi(\alpha) e^{-i k_0 z} = R \Phi e^{-i k_0 z}$$

(4.43)

## Коаксиальный волновод. $H_{nm}$ -волны

Подставляя (4.43) в (4.42) и поделив все на выражение (4.43), получим

$$\frac{1}{Rr} \frac{\partial}{\partial r} \left( r \frac{\partial R}{\partial r} \right) + \frac{1}{r^2 \Phi} \frac{\partial^2 \Phi}{\partial \alpha^2} = -\chi^2. \quad (4.44)$$

Фиксируя переменную  $r$ , а  $\alpha$  считая переменной, видим, что так как величина  $\chi$  постоянная, то слагаемое

$$\frac{1}{\Phi} \frac{\partial^2 \Phi}{\partial \alpha^2}$$

также постоянное. Поле имеет периодическую зависимость и при изменении  $\alpha$  на  $2\pi$  не изменяется.

## Коаксиальный волновод. $H_{nm}$ -волны

$$\frac{1}{\Phi} \frac{d^2 \Phi}{d\alpha^2} = -n^2, \quad (4.45)$$

где  $n$  — целое число.

Решение этого уравнения имеет вид

$$\Phi = A \cos n\alpha + B \sin n\alpha = \left. \begin{array}{l} \cos n\alpha \\ \sin n\alpha \end{array} \right\}. \quad (4.46)$$

## Коаксиальный волновод. $H_{nm}$ -волны

Учитывая (4.45) в (4.44), получим

$$\frac{1}{R} \frac{d^2 R}{dr^2} + \frac{1}{Rr} \frac{dR}{dr} - \frac{n^2}{r^2} + \chi^2 = 0.$$

Поделив на  $\chi^2$  и обозначив  $\chi r$  через  $x$ , получим

$$\frac{d^2 R}{dx^2} + \frac{1}{x} \frac{dR}{dx} + \left(1 - \frac{n^2}{x^2}\right) R = 0$$

— уравнение Бесселя

## Коаксиальный волновод. $H_{nm}$ -волны

Решение уравнения

$$R = CJ_n(x) + DN_n(x). \quad (4.47)$$

Здесь функция Неймана  $N_n(x)$  учитывается в решении, так как точка  $x=0$ , соответствующая  $r=0$ , исключается внутренней жилой.

С учетом (4.46) и (4.47) в (4.43) получается выражение для  $H_{mz}$ . Остальные составляющие находим из уравнений Максвелла.



## Коаксиальный волновод. $H_{nm}$ -волны

$$\dot{H}_{mz} = [CJ_n(\chi r) + DN_n(\chi r)] \frac{\cos n\alpha}{\sin n\alpha} e^{-ik_0 z},$$

$$\dot{H}_{mr} = -\frac{ik_0}{\chi} [CJ'_n(\chi r) + DN'_n(\chi r)] \frac{\cos n\alpha}{\sin n\alpha} e^{-ik_0 z},$$

$$\dot{H}_{m\alpha} = -\frac{ink_0}{\chi^2 r} [CJ_n(\chi r) + DN_n(\chi r)] \frac{-\sin n\alpha}{\cos n\alpha} e^{-ik_0 z},$$

$$\dot{E}_{mr} = -\frac{i\omega\mu_a n}{\chi^2 r} [CJ_n(\chi r) + DN_n(\chi r)] \frac{-\sin n\alpha}{\cos n\alpha} e^{-ik_0 z},$$

$$\dot{E}_{m\alpha} = \frac{i\omega\mu_a}{\chi} [CJ'_n(\chi r) + DN'_n(\chi r)] \frac{\cos n\alpha}{\sin n\alpha} e^{-ik_0 z}.$$

(4.48)

## Коаксиальный волновод. $H_{nm}$ -волны

Поперечное волновое число  $\chi$  определим из граничных условий. Согласно граничным условиям

$$E_{\tau} = 0,$$

т. е.  $E_{m\alpha} = 0$  при  $r = a_1$  и  $r = a_2$ ,

что соответствует системе уравнений

$$CJ'_n(\chi a_1) + DN'_n(\chi a_1) = 0,$$

$$CJ'_n(\chi a_2) + DN'_n(\chi a_2) = 0,$$

или

$$\frac{N'_n(\chi a_1)}{J'_n(\chi a_1)} = \frac{N'_n(\chi a_2)}{J'_n(\chi a_2)}.$$

## Коаксиальный волновод. $H_{nm}$ -волны

Корни трансцендентного уравнения

$$N'_n(\chi a_1)J'_n(\chi a_2) - \\ - N'_n(\chi a_2)J'_n(\chi a_1) = 0$$

определяют поперечные волновые числа  $\chi$ , зависящие от геометрии волновода ( $a_1$  и  $a_2$ ) и типа волны (значений  $n$  и  $m$ ).

## Коаксиальный волновод. $E_{nm}$ -волны

Структура поля  $E_{nm}$  определяется аналогично.

$$\dot{E}_{mz} = [CJ_n(\chi r) + DN_n(\chi r)] \frac{\cos n\alpha}{\sin n\alpha} e^{-ik_0 z}$$

Поперечные волновые числа определяются из трансцендентного уравнения

$$N_n(\chi a_1)J_n(\chi a_2) - N_n(\chi a_2)J_n(\chi a_1) = 0$$

## Коаксиальный волновод. $E_{nm}$ -волны

Критическая длина волны

$$\lambda_{\text{кр}} = \frac{2\pi}{\chi}$$

отличается для  $E_{nm}$ - и  $H_{nm}$ -волн.

## Коаксиальный волновод. Т-волна

Основной волной в коаксиальном волноводе является Т-волна. При работе на этой волне размеры коаксиального волновода минимальны.

Постоянная распространения Т-волны

$$k = \omega \sqrt{\varepsilon_a \mu_a}$$

равна постоянной распространения в неограниченном пространстве. Поле эквивалентно полю между двумя параллельными плоскостями, свернутыми в цилиндр. При этом

$$E_z = H_z = E_\alpha = H_r = 0.$$

## Коаксиальный волновод. Т-волна

Проекция волнового уравнения на ось  $r$

$$\Delta \dot{E}_{mr} - \frac{\dot{E}_{mr}}{r^2} - \frac{2}{r^2} \frac{\partial \dot{E}_{m\alpha}}{\partial \alpha} + k^2 \dot{E}_{mr} = 0$$

будет содержать одну составляющую  $\dot{E}_{mr}$ ,  
так как  $\dot{E}_{m\alpha} = 0$ , т. е.

$$\begin{aligned} \frac{1}{r} \frac{\partial}{\partial r} \left( r \frac{\partial \dot{E}_{mr}}{\partial r} \right) + \frac{1}{r^2} \frac{\partial^2 \dot{E}_{mr}}{\partial \alpha^2} + \frac{\partial^2 \dot{E}_{mr}}{\partial z^2} - \\ - \frac{\dot{E}_{mr}}{r^2} + k^2 \dot{E}_{mr} = 0 \end{aligned} \quad (4.49)$$

## Коаксиальный волновод. Т-волна

Решение будет иметь вид

$$\dot{E}_{mr} = R(r) e^{-ikz}. \quad (4.50)$$

Подставляя (4.50) в (4.49) и поделив на (4.50) с учетом того, что

$$\frac{\partial^2}{\partial z^2} = -k^2,$$

получаем

$$\frac{1}{R} \frac{d^2 R}{dr^2} + \frac{1}{rR} \frac{dR}{dr} - \frac{1}{r^2} = 0. \quad (4.51)$$



## Коаксиальный волновод. Т-волна

Уравнение решаем подстановкой

$$r = e^t, \quad dr = e^t dt, \quad dt = e^{-t} dr.$$

Первая производная

$$\frac{dR}{dr} = \frac{dR}{dt} \frac{dt}{dr} = e^{-t} \frac{dR}{dt}.$$

Вторая производная

$$\frac{d^2 R}{dr^2} = \frac{d}{dr} \left( e^{-t} \frac{dR}{dt} \right) = e^{-t} \frac{d}{dt} \left( e^{-t} \frac{dR}{dt} \right) = e^{-t} \left( \frac{d^2 R}{dt^2} - \frac{dR}{dt} \right).$$

## Коаксиальный волновод. Т-волна

Подставляя эти значения в (4.51), получим

$$\frac{d^2 R}{dt^2} - R = 0 \quad (4.52)$$

— дифференциальное уравнение с постоянными коэффициентами. Решение уравнения имеет вид

$$R = A e^t + B e^{-t} = A r + \frac{B}{r},$$

но физический смысл имеет лишь второе слагаемое, так как с увеличением  $r$  электрическое поле уменьшается.

## Коаксиальный волновод. Т-волна

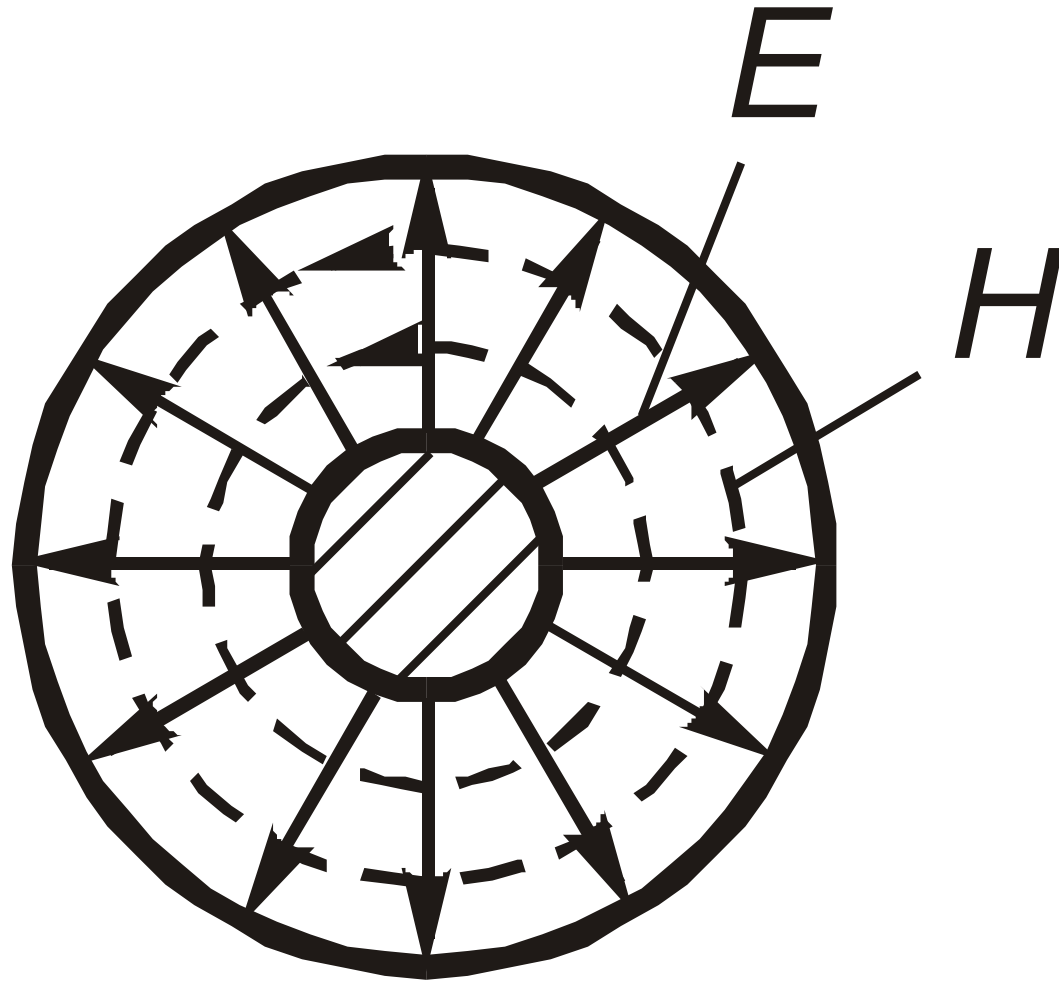
Окончательно

$$\left. \begin{aligned} \dot{E}_{mr} &= \frac{E_m}{r} e^{-ikz}, \\ \dot{H}_{m\alpha} &= \frac{E_m}{Z_c r} e^{-ikz}, \end{aligned} \right\} \quad (4.53)$$

$$Z_c = \sqrt{\mu_a / \varepsilon_a}.$$

## Коаксиальный волновод. Т-волна

Структура поля Т-волны в коаксиальном волноводе



## Коаксиальный волновод. Т-волна

Обычный коаксиальный кабель характеризуют интегральными величинами — током и напряжением.

Ток, текущий по кабелю, определяется выражением

$$\dot{I} = \oint_L \mathbf{J}_{\text{нов}} \, d\mathbf{l} = \int_0^{2\pi} \frac{E_m}{a_1 Z_c} e^{-i k z} a_1 \, d\alpha = \frac{2\pi}{Z_c} E_m e^{-i k z}$$

Напряжение между цилиндрическими проводниками коаксиальной линии

$$\dot{U} = \int_{a_1}^{a_2} \dot{E}_{mr} \, dr = E_m \ln \frac{a_2}{a_1} e^{-i k z},$$

## Коаксиальный волновод. Т-волна

Волновое сопротивление коаксиальной линии (Волновым сопротивлением называют отношение напряжения к току в линии в режиме бегущей волны. Волновое сопротивление обычно определяется для линий с Т-волной.)

$$Z_{\text{в}} = \frac{\dot{U}}{\dot{I}} = \frac{Z_c}{2\pi} \ln \frac{a_2}{a_1}.$$

Если среда, заполняющая волновод, не обладает потерями, то фазовая и групповая скорости Т-волны не зависят от частоты

$$V_{\phi} = \frac{1}{\sqrt{\epsilon_a \mu_a}}, \quad V_{gp} = V_{\phi},$$

т. е. дисперсии нет. Коаксиальная линия передачи с Т-волной применяется в диапазоне частот от постоянного тока до 10 ГГц и выше.

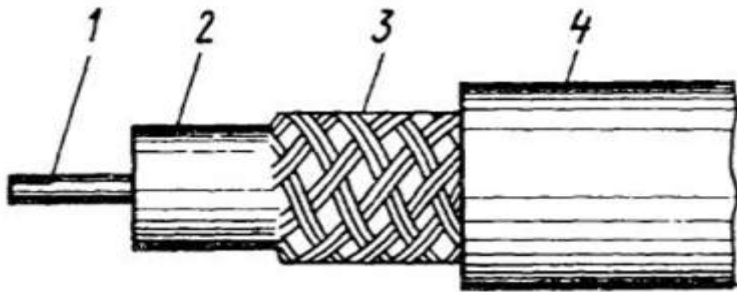
## Коаксиальный волновод. Т-волна

Мощность, переносимая Т-волной в коаксиальном волноводе

$$P = \frac{U^2}{2Z_{\text{в}}} = \frac{U^2}{120} \sqrt{\frac{\varepsilon}{\mu}} \frac{1}{\ln \frac{a_2}{a_1}} .$$

## Коаксиальный кабель

Коаксиальные волноводы часто выполняют в виде гибких кабелей. Для обеспечения гибкости в качестве диэлектрика применяют полимерные материалы, такие как полиэтилен, фторопласт и др. Для этой же цели внешний проводник коаксиального кабеля выполняют из тонкой фольги или в виде оплетки из большого числа тонких проводников.



- 1 – центральный проводник,
- 2 – диэлектрик,
- 3 – оплетка,
- 4 – наружное защитное покрытие





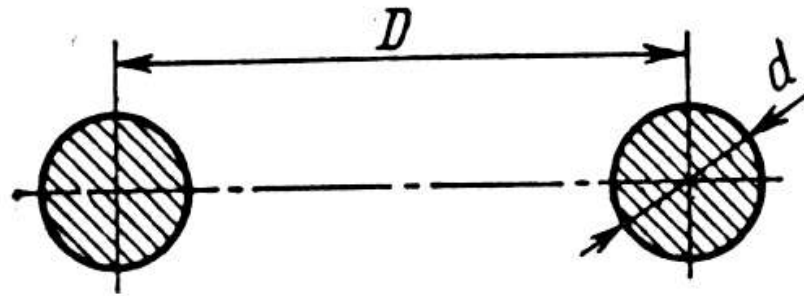
## *Коаксиальный кабель*

Чаще используют коаксиальные линии передач с волновым сопротивлением 50 и 75 Ом. Стандартизация волновых сопротивлений упрощает создание унифицированных узлов радиоэлектронной аппаратуры.

## 4.8 Двухпроводная линия

Двухпроводная линия образована системой из двух параллельных проводников, окруженных однородным веществом с параметрами  $\epsilon_a$  и  $\mu_a$ . Применяется на гектометровых и метровых волнах для подключения антенн к приемным и передающим устройствам.

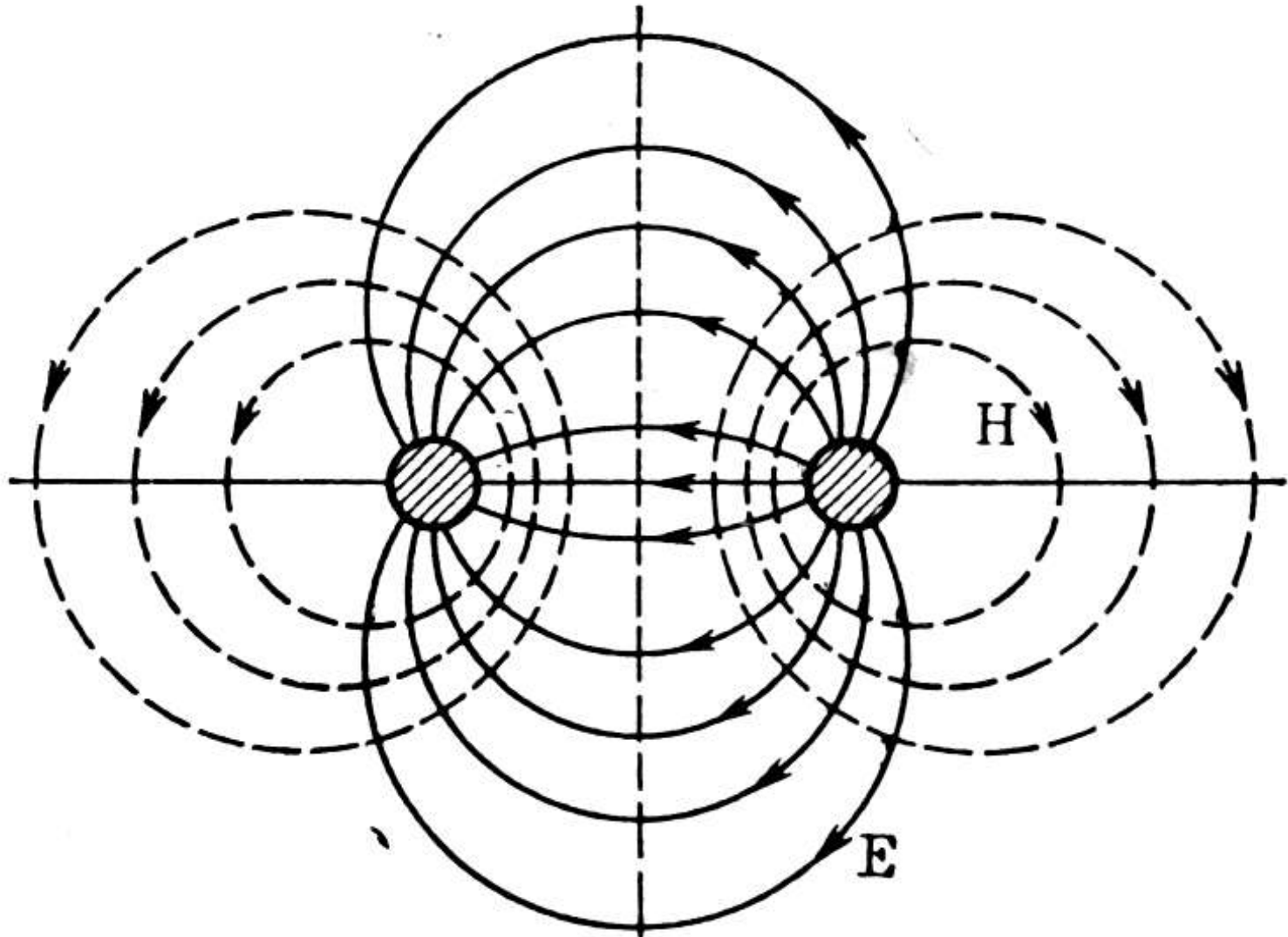
Основной тип волны: Т-волна.



Критическая длина для Т-волны  $\lambda_{кр} = \infty$

## Двухпроводная линия

Распределение силовых линий электромагнитного поля для Т-волны в двухпроводной линии



## Двухпроводная линия

Комплексные амплитуды тока и напряжения в линии

$$\begin{aligned}\dot{I} &= I e^{-ikz}, \\ \dot{U} &= U e^{-ikz}.\end{aligned}$$

Погонные параметры двухпроводной линии  
(индуктивность и емкость отрезка линии длиной 1 м)

$$\begin{aligned}L_1 &\approx \frac{\mu_a}{\pi} \ln \left( \frac{2D - d}{d} \right), \frac{\Gamma_H}{M}, \\ C_1 &\approx \pi \varepsilon_a \frac{1}{\ln \left( \frac{2D - d}{d} \right)}, \frac{\Phi}{M}.\end{aligned}$$

Волновое сопротивление

$$Z_B \approx 120 \sqrt{\frac{\mu}{\varepsilon}} \ln \left( \frac{2D - d}{d} \right), \text{Ом}.$$

## Двухпроводная линия

Мощность, переносимая волной типа Т в двухпроводной линии передачи

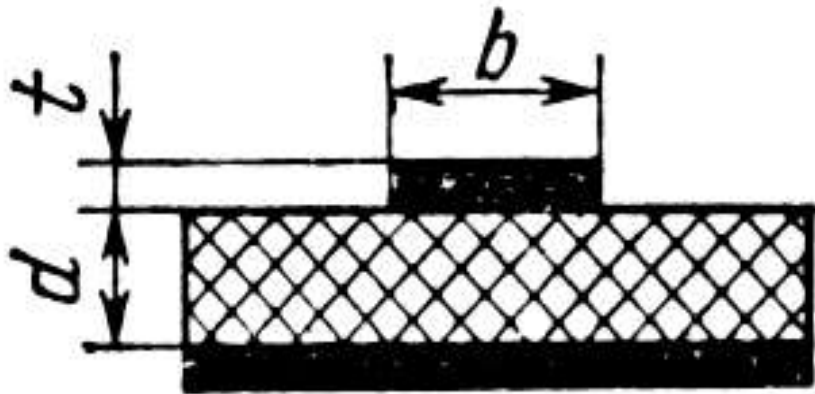
$$P = \frac{U^2}{2Z_{\text{в}}} = \frac{U^2}{240} \sqrt{\frac{\varepsilon}{\mu}} \frac{1}{\ln \left( \frac{2D - d}{d} \right)}, \text{ Вт.}$$

## 4.9 Полосковые и микрополосковые линии

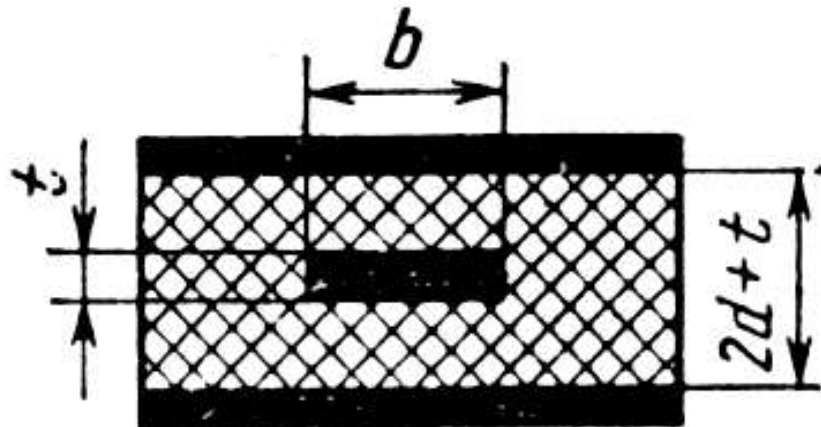
В технике СВЧ широко применяют линии передачи, называемые полосковыми линиями. В этих линиях проводники представляют собой тонкие полоски металла, между которыми расположена подложка из диэлектрика с малыми потерями.

Несимметричные полосковые волноводы для сантиметрового и миллиметрового диапазонов волн называют микрополосковыми линиями.

Несимметричная



Симметричная



## *Полосковые и микрополосковые линии*

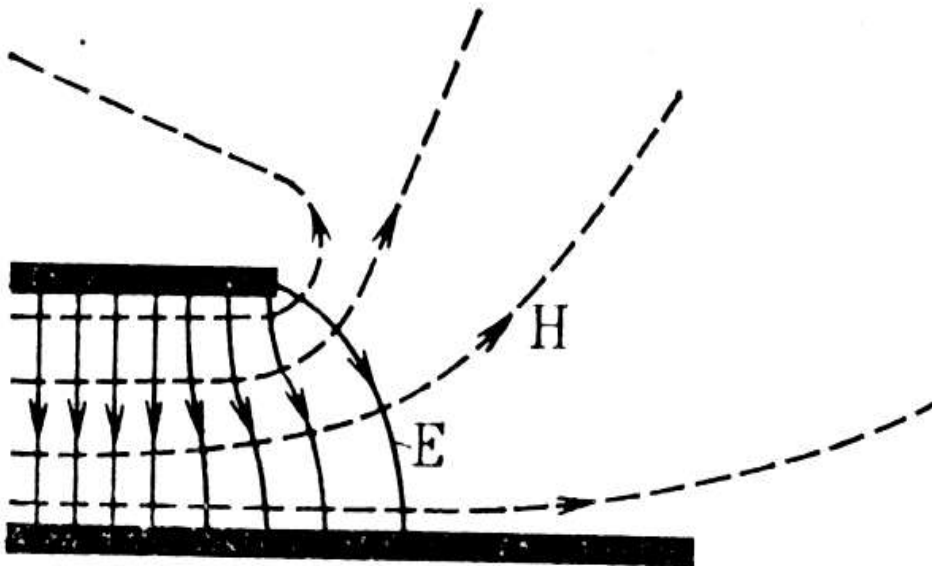
Строгий электродинамический анализ полей в несимметричном полосковом волноводе является сложной задачей и проводится численными методами. Это связано с тем, что параметры заполняющей среды неоднородны по сечению. Как следствие, векторы электромагнитного поля  $\mathbf{E}$  и  $\mathbf{H}$  имеют все шесть декартовых проекций и, строго говоря, волн Т-типа здесь не существует. Однако на практике обычно применяют волноводы, у которых толщина подложки  $d$  намного меньше ширины проводника  $b$ . Поэтому электрическое поле в поперечном сечении волновода распределено так же, как в плоском конденсаторе. Достаточно высокое значение относительной диэлектрической проницаемости подложки снижает роль краевых эффектов, так что поле во внутренней области оказывается близким к однородному.

## Полосковые и микрополосковые линии

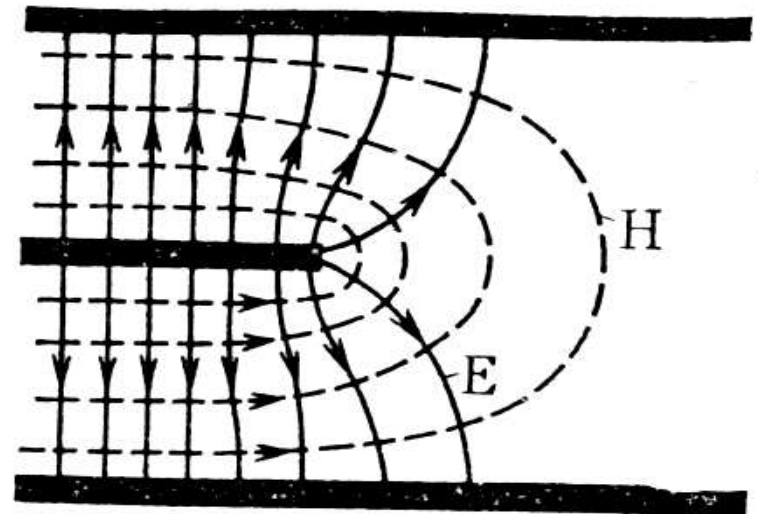
При  $d/b \ll 1$  и  $\epsilon \gg 1$  можно обоснованно пренебречь малыми продольными проекциями векторов **E** и **H**. Низший тип волны в таком микрополосковом волноводе, имеющий нулевую критическую частоту, называют квази-Т-волной.

Распределение поля в поперечном сечении линии:

несимметричной



симметричной





## Полосковые и микрополосковые линии

Волновое сопротивление несимметричной полосковой линии с учетом толщины проводника определяется формулами

$$Z_{\text{в}} = \sqrt{\frac{\mu}{\varepsilon}} \frac{314}{1 + \frac{b}{d}} \left(1 - \frac{t}{d}\right), \text{ при } \frac{b}{d} < 2,$$

$$Z_{\text{в}} = 314 \sqrt{\frac{\mu}{\varepsilon}} \frac{1}{1 + \frac{b}{d} \left(\frac{1}{1 - \frac{t}{d}}\right)}, \text{ при } \frac{b}{d} > 2.$$

## Полосковые и микрополосковые линии

Волновое сопротивление для симметричной полосковой линии с учетом толщины проводника можно рассчитать по формулам

$$Z_{\text{В}} = 216 \sqrt{\frac{\mu}{\varepsilon}} \frac{\left(1 - \frac{t}{d}\right)}{\left(1 - \frac{b}{d}\right)}, \text{ при } \frac{b}{d} < 2,$$

$$Z_{\text{В}} = 216 \sqrt{\frac{\mu}{\varepsilon}} \frac{1}{1 + \frac{b}{d} \left(\frac{1}{1 - \frac{t}{d}}\right)}, \text{ при } \frac{b}{d} > 2.$$

## Потери в линиях с волной типа Т

Коэффициент ослабления за счет потерь в металлических стенках для волны типа Т в коаксиальной линии

$$\alpha_{\text{м}} = \sqrt{\frac{\varepsilon}{\mu}} \frac{\frac{R_{s1}}{2a_1} + \frac{R_{s2}}{2a_2}}{120\pi \ln \frac{a_2}{a_1}},$$

где  $R_{s1}$  и  $R_{s2}$  – поверхностные сопротивления металла внутреннего и внешнего проводников соответственно.

## Потери в линиях с волной типа Т

Коэффициент ослабления за счет потерь в металлических стенках для волны типа Т в двухпроводной линии

$$\alpha_{\text{М}} = \frac{R_s}{\pi d Z_{\text{В}} \sqrt{1 - \left(\frac{d}{D}\right)^2}} .$$

## Потери в линиях с волной типа Т

Коэффициент ослабления, обусловленный потерями в металлических пластинах симметричной полосковой линии при  $t/d < 0,3$  и  $b/d > 1$

$$\alpha_{\text{м}} = \frac{R_s}{120\pi d} \sqrt{\frac{\varepsilon}{\mu}} \frac{7 - 50 \frac{t}{d} + \frac{b}{d}}{3,2 \left(0,1 + \frac{t}{d}\right) \left(4 + \frac{b}{d}\right)}.$$

$R_s$  – поверхностное сопротивление металла.

## *Потери в линиях с волной типа Т*

Коэффициент ослабления волны типа Т за счет потерь в диэлектрике в рассмотренных линиях определяется соотношением

$$\alpha_{\text{д}} = \frac{1}{2} \omega \sqrt{\epsilon_a \mu_a} \operatorname{tg} \delta_{\text{Э}} .$$

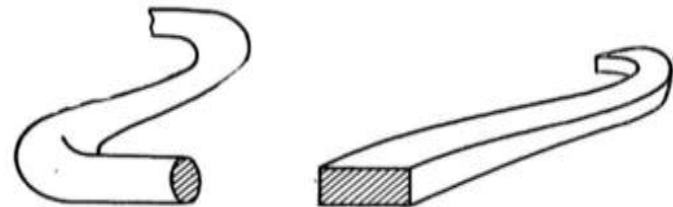
# Поверхностные волны и замедляющие структуры

В электронике СВЧ часто требуются волноводные системы, в которых фазовая скорость направляемой волны была бы уравнена со скоростью пучка электронов. В этом случае фазовая скорость меньше скорости света. Волноводные системы, удовлетворяющие этому условию, носят название замедляющих структур. Степень замедления характеризуют коэффициентом замедления волны

$$K_{\text{зам}} = \frac{v_{\phi}}{c} .$$

## Диэлектрический волновод

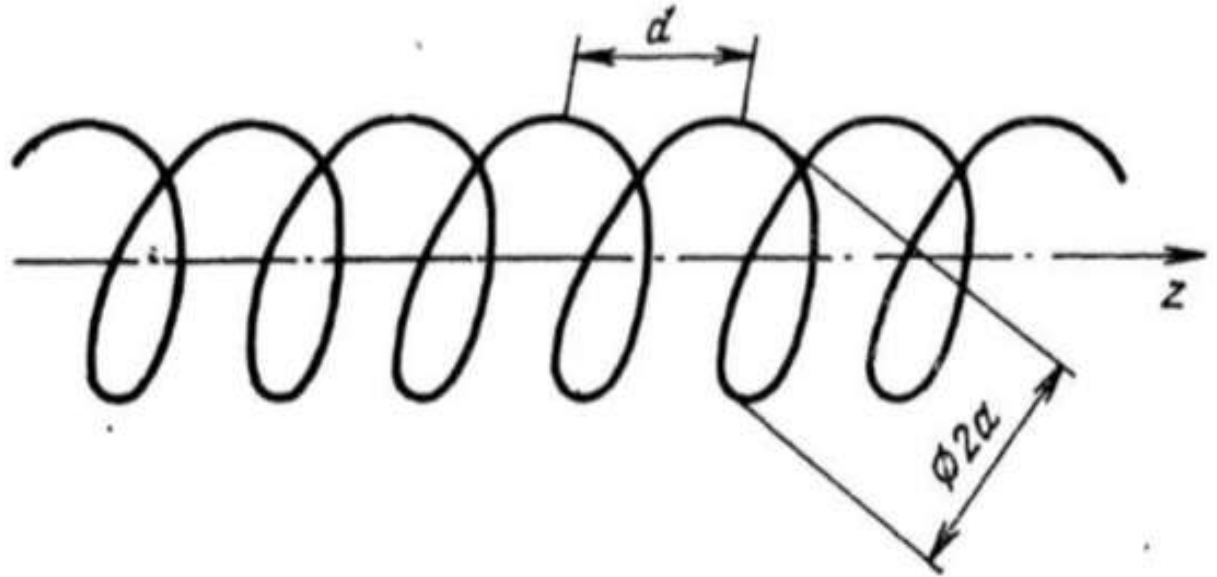
Диэлектрический волновод представляет собой стержень круглого или прямоугольного сечения, изготовленный из диэлектрика с малыми потерями. Такая линия передачи может применяться на волнах миллиметрового диапазона. Важное свойство такого волновода — его механическая гибкость. Следует учитывать, что при изгибах часть электромагнитной энергии неизбежно излучается в пространство. Диэлектрический волновод является основой диэлектрических стержневых антенн. В таких волноводах распространяются гибридные волны типов HE или EH, имеющие продольные составляющие векторов как электрического, так и магнитного полей. Эффект замедления волны достигается за счет применения диэлектрика с  $\epsilon > 1$ .





## Спиральный волновод

Такая система представляет собой достаточно тонкий проводник, навитый на цилиндр радиуса  $a$  по винтовой линии с шагом  $d$



Вдоль проводника распространяется волна тока, причем скорость этой волны близка к скорости распространения в вакууме. Поскольку путь тока вдоль провода значительно превышает проекцию этого пути на ось волновода, фактическая скорость распространения колебаний вдоль оси волновода уменьшается по сравнению со скоростью распространения в вакууме.

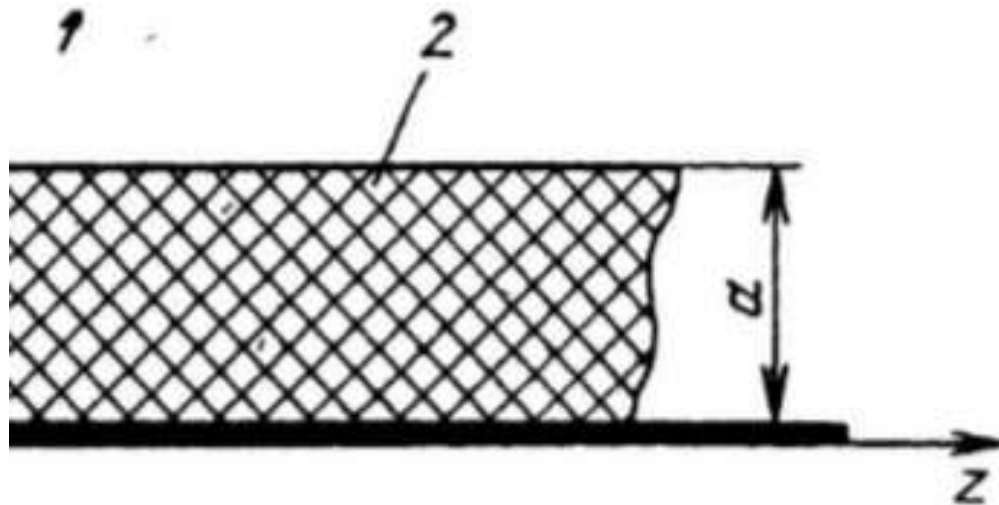
## Спиральный волновод

В первом приближении фазовая скорость замедленной волны в спиральном волноводе определяется лишь геометрией спирали и не зависит от частоты. Это свойство объясняет высокую широкополосность лампы бегущей волны (ЛБВ), используемой в качестве усилителя СВЧ колебаний. Работа ЛБВ основана на том, что часть кинетической энергии пучка электронов может быть передана электромагнитной волне, распространяющейся вдоль спирального волновода при условии синхронизма между волной и электронным потоком.

## Диэлектрическая пластина над идеально проводящей плоскостью

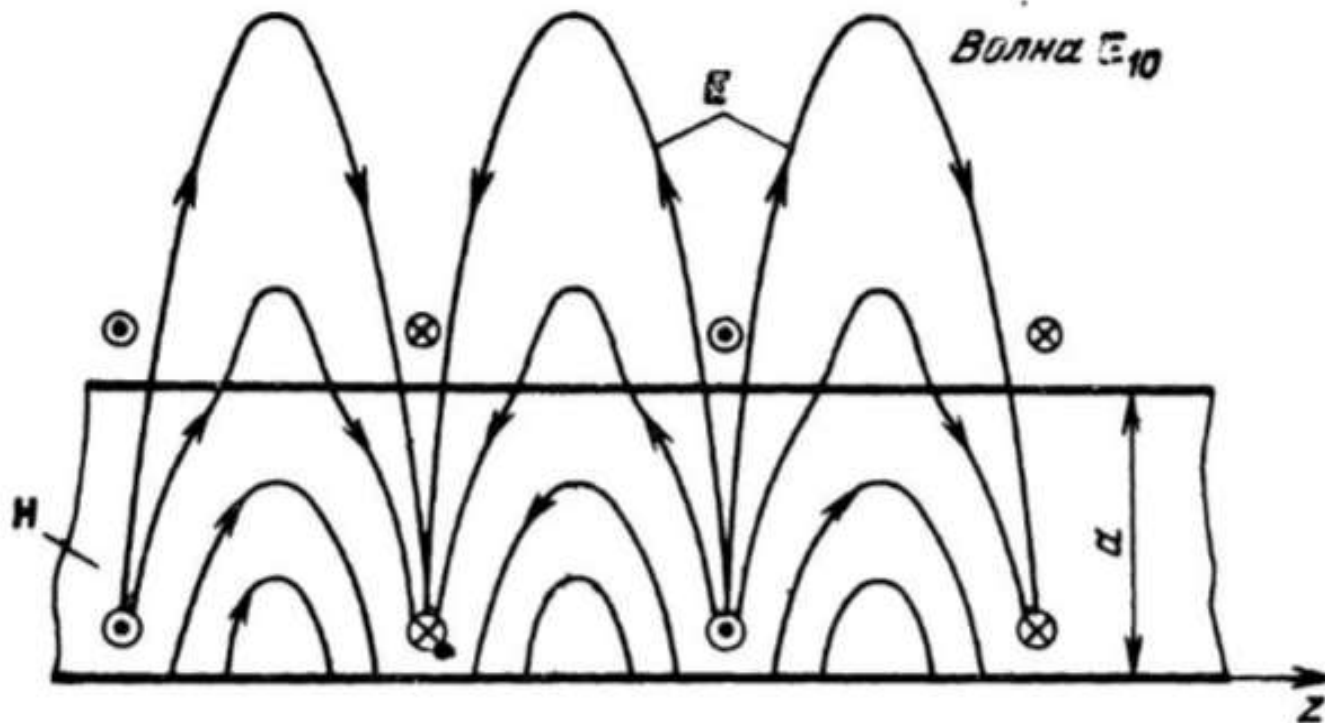
Подобная система может играть роль волновода замедленных волн.

Решение уравнения Гельмгольца для такой системы показывает, что в ней распространяется замедленная волна, которая одновременно является поверхностной волной в том смысле, что при более интенсивном замедлении ( $K_{\text{зам}}$  падает) поле становится более прижатым к направляющей поверхности диэлектрика.



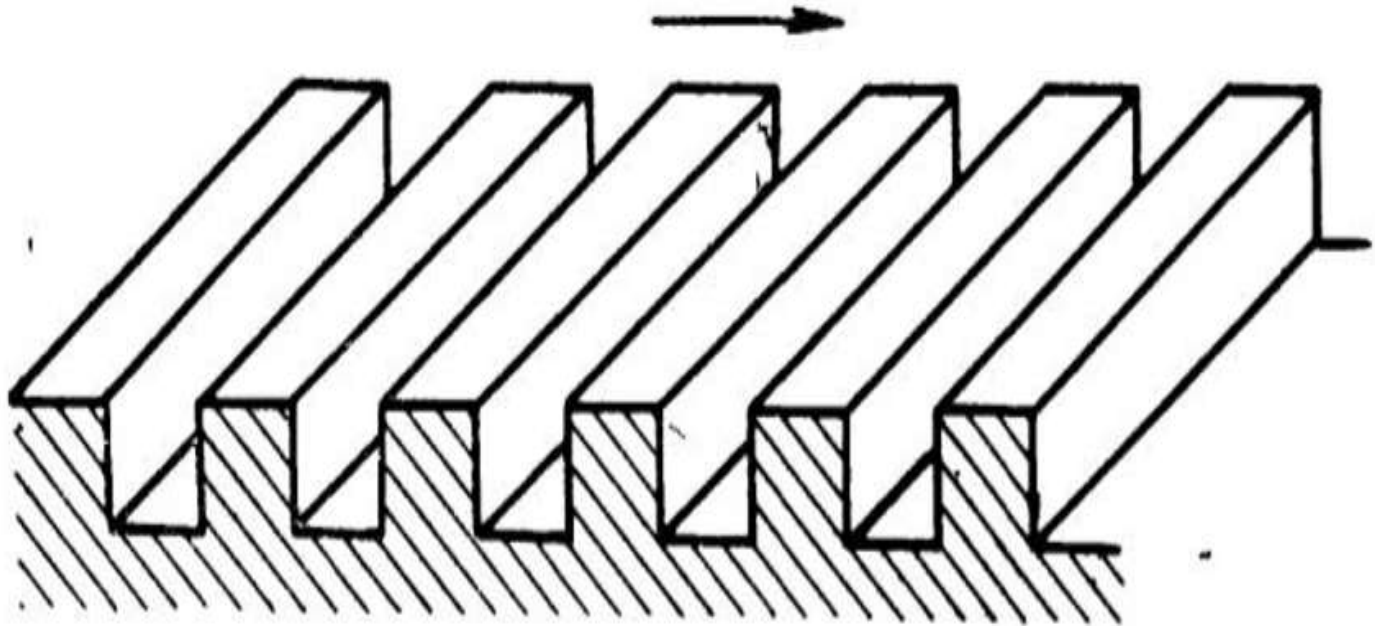
## Диэлектрическая пластина над идеально проводящей плоскостью

Низшим типом колебаний данной замедляющей структуры является волна типа  $E_{10}$ . Этот тип колебаний существует при сколь угодно низких частотах. Структура поля этой волны



## Гребенчатая замедляющая структура

Такая структура представляет собой металлическую поверхность с прямоугольными канавками, глубина которых не более четверти длины волны в свободном пространстве.



## *Гребенчатая замедляющая структура*

Фазовая скорость замедляется тогда, когда электромагнитные волны распространяются в направлении, перпендикулярном канавкам. Физическая природа замедления, осуществляемого периодическими структурами, заключается в следующем. Каждый отдельный период структуры может рассматриваться как колебательная система, обладающая конечным временем установления колебаний. В случае гребенчатого волновода такой колебательной системой служит отдельная канавка, которая может рассматриваться как закороченный на конце отрезок длинной линии с волной типа Т. Для достижения установившейся амплитуды колебаний требуется конечный отрезок времени, тем больший, чем ближе размеры системы к резонансным, т.е. чем ближе глубина канавки к  $\lambda/4$ .

## Гребенчатая замедляющая структура

Интересной модификацией гребенчатой замедляющей структуры является диафрагмированный волновод, представляющий собой круглую металлическую трубу, внутри которой с одинаковым шагом расположены металлические диафрагмы. Подобную систему можно рассматривать как гребенчатую структуру, свернутую в кольцо по направлению канавок.

